

Module TS 205  
Principes des communications multiporteuses  
Introduction à l'OFDM

Romain Tajan

IMS, Groupe Signal et Image

- 
- 1 Introduction
  - 2 Rappels
  - 3 Le canal radio-mobile
  - 4 Principe des communications multi-porteuses
  - 5 Orthogonal Frequency Division Multiplexing
  - 6 Conclusion
  - 7 Références

# Plan

- 1 Introduction
- 2 Rappels
- 3 Le canal radio-mobile
  - Sélectivité fréquentielle
  - Sélectivité temporelle
- 4 Principe des communications multi-porteuses
- 5 Orthogonal Frequency Division Multiplexing
- 6 Conclusion
- 7 Références

- ▷ Communications de base (canal AWGN),
- ▷ **Modélisation des canaux sans-fil,**
- ▷ **Techniques des communications numériques haut débit.**
- ▷ Organisation :
  - ▷ 5h20 de cours,
  - ▷ 8h de TP
- ▷ Évaluation : Examen écrit + TP

# Plan

## 1 Introduction

## 2 Rappels

- ▷ Système mono-porteuse
- ▷ Interférences Entre Symboles (IES)

## 3 Le canal radio-mobile

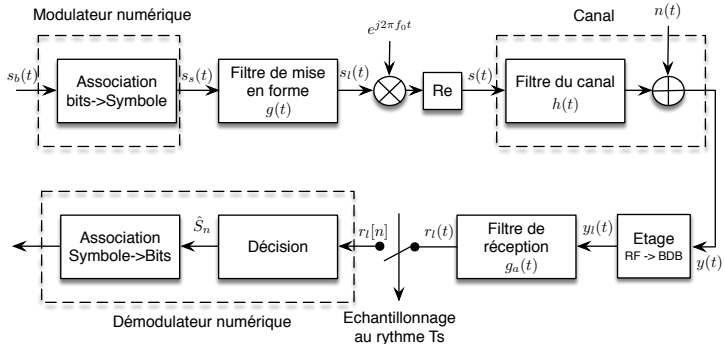
- Sélectivité fréquentielle
- Sélectivité temporelle

## 4 Principe des communications multi-porteuses

## 5 Orthogonal Frequency Division Multiplexing

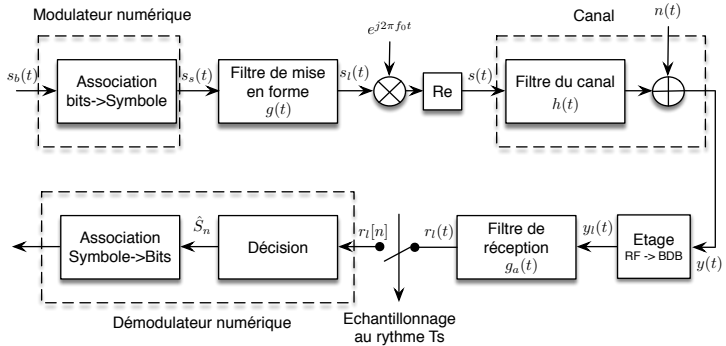
## 6 Conclusion

## Orthogonalité mono-porteuse



**Critère de Nyquist + filtrage adapté :**

$$\int_{\mathbb{R}} g(t - kT_s)g^*(t - k'T_s)dt = R_g[0]\delta_{k,k'}$$



$$r_l[n] = \sum_{k \in \mathbb{Z}} S_k v_{n-k} + n_l[n] \text{ avec } v(t) = g(t) * h(t) * g_a(t),$$

► si  $h(t) = \delta(t)$ , Nyquist  $\Rightarrow r_l[n] = S_n v_0 + n_l[n]$

► si  $h(t) \neq \delta(t)$   $\Rightarrow r_l[n] = v_0 S_n + \sum_{l=1}^{L-1} v_l S_{n-l} + n_l[n]$

Pour combattre l'IES il faut égaliser le canal :

- ▷ Maximum de vraisemblance  $\Rightarrow$  Algorithme de Viterbi
- ▷ Egaliseur à retour de décision (DFE)
- ▷ Egaliseur de Wiener
- ▷ Egaliseur de forçage à zéro

**Problèmes** : étape d'autant plus complexe que le canal est sélectif en fréquence et performances mitigées.

But des systèmes multi-porteuses

Diminuer la complexité de l'égaliseur.

# Plan

1 Introduction

2 Rappels

3 Le canal radio-mobile

- ▷ Modélisation déterministe du canal
- ▷ Modélisation stochastique du canal

    Sélectivité fréquentielle

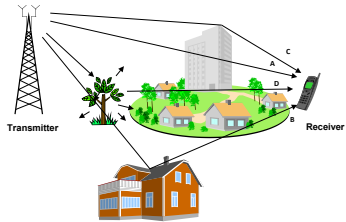
    Sélectivité temporelle

4 Principe des communications multi-porteuses

5 Orthogonal Frequency Division Multiplexing

6 Conclusion

## Modélisation déterministe du canal



La puissance perdue lors de la propagation est dûe :

- ▷ A la distance entre Tx et Rx (grande échelle),
- ▷ A l'environnement ( effet de masquage - moyenne échelle),
- ▷ A la mobilité de Tx et/ou Rx  $\Rightarrow$  Temps de cohérence  $T_c$ ,
- ▷ Aux multi-trajets  $\Rightarrow$  Bande de cohérence  $B_c$ .

Soit  $s(t)$  le signal transmis, le signal reçu s'écrit :  $y(t) = \int_{\mathbb{R}} h(\tau, t)s(t - \tau)d\tau$

**Enveloppe complexe du signal reçu** :  $y_I(t) = \int_{\mathbb{R}} h_I(\tau, t)s_I(t - \tau)d\tau$

$h_I(\tau, t) \in \mathbb{C}$  : **enveloppe complexe équivalente** du canal

## Auto-corrélation de la réponse impulsionale

### Définition

$$R_h(\tau, t, \Delta\tau, \Delta t) = \mathbb{E} [h_l(\tau, t) h_l^*(\tau + \Delta\tau, t + \Delta t)]$$

### Hypothèses :

- Stationnarité :  $R_h(\tau, t, \Delta\tau, \Delta t)$  ne dépend pas de  $t$
- En l'**absence de trajet direct**  $h(\tau, t) \sim \mathcal{N}_{\mathbb{C}}(0, \sigma_{\tau}^2)$  (Canal Rayleigh)
- $h(\tau, t)$  indépendant de  $h(\tau + \Delta\tau, t + \Delta t)$  si  $\Delta\tau \neq 0$

On montre que :

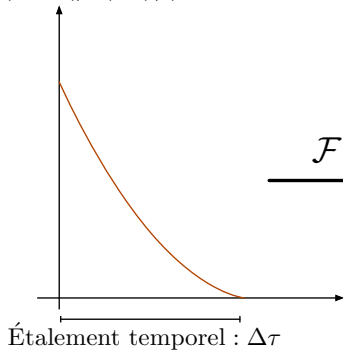
$$R_h(\tau, t, \Delta\tau, \Delta t) = R_h(\tau, \Delta t) \delta(\Delta\tau)$$

## Auto-corrélation de la réponse impulsionale

Énergie reçue pour le trajet de retard  $\tau$  :

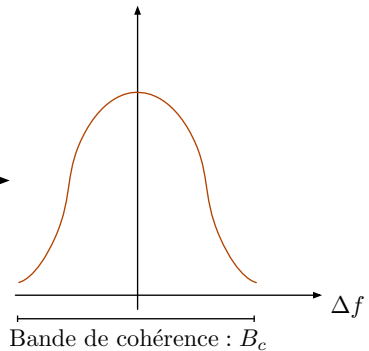
$$R_h(\tau) = \mathbb{E} \left[ |h_l(\tau, t)|^2 \right]$$

$$R_h(\tau) = \mathbb{E}(|h_l(\tau, t)|^2)$$



$$\mathcal{F}(\cdot)$$

$$\mathcal{F}(R_h(\tau))$$



## Sélectivité fréquentielle

### Bande de cohérence

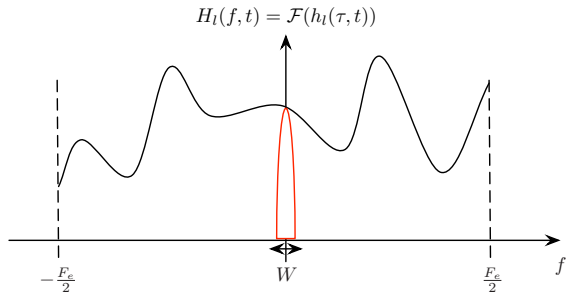
Définie comme l'**inverse de l'étalement temporel**  $\Delta\tau$  :  $B_c = \frac{1}{\Delta\tau}$ .

Soit  $W$  la largeur de bande du signal émis :

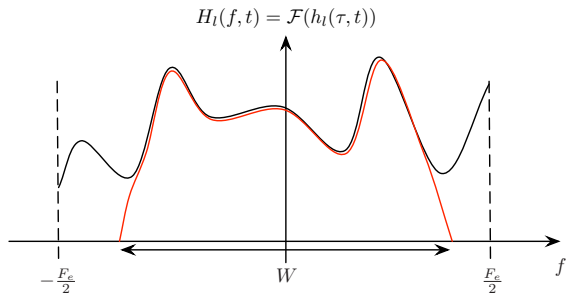
- ▷  $W \ll B_c \Rightarrow$  le canal de propagation est **non sélectif en fréquence**.
- ▷  $W > B_c \Rightarrow$  le canal de propagation est **sélectif en fréquence**.
- ▷  $T_s \gg \Delta\tau \Rightarrow$  le canal est **non sélectif en fréquence**
- ▷  $T_s < \Delta\tau \Rightarrow$  le canal est **sélectif en fréquence**

Les systèmes de communications haut débit sont plus complexes à mettre en oeuvre que les systèmes bas débit.

## Sélectivité fréquentielle



## Sélectivité fréquentielle



## Auto-corrélation de la fonction de transfert

### Définition

$$R_H(f, t, \Delta f, \Delta t) = \mathbb{E} [H_l(f, t) H_l^*(f + \Delta f, t + \Delta t)]$$

### Hypothèses :

- Stationnarité :  $R_h(\tau, t, \Delta\tau, \Delta t)$  ne dépend pas de  $t$
- En l'**absence de trajet direct**  $h(\tau, t) \sim \mathcal{N}_{\mathbb{C}}(0, \sigma_\tau^2)$  (Canal Rayleigh)
- $h(\tau, t)$  indépendant de  $h(\tau + \Delta\tau, t + \Delta t)$  si  $\Delta\tau \neq 0$

On montre que :

$$R_H(f, t, \Delta f, \Delta t) = \mathcal{F}(R_H(\tau, \Delta t))$$

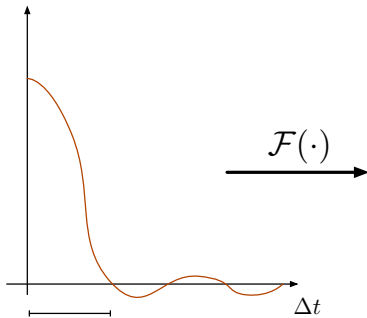
ne dépend que de  $\Delta f$  et  $\Delta t$ .

## Auto-corrélation de la fonction de transfert

Énergie reçue autour de la fréquence  $f$ , à l'instant  $\Delta_t$  :

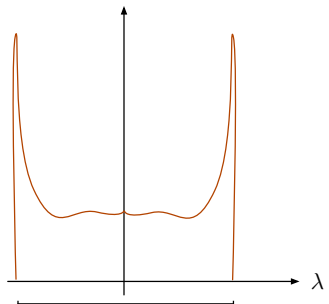
$$R_H(\Delta_t) = \mathbb{E} \left[ |H_l(f, \Delta_t)|^2 \right]$$

$$R_H(\Delta_t) = \mathbb{E}(|H_l(f, \Delta_t)|^2)$$



Temps de cohérence :  $T_c$

$$\mathcal{F}(R_H(\Delta_t))$$



Bande Doppler :  $B_d$

## Sélectivité temporelle

Vitesse relative entre Tx et Rx  $\Rightarrow$  décalage de fréquence (effet Doppler)  $f_d = v \frac{f_c}{c}$

**Bandé Doppler** :  $B_d = [-f_d, f_d]$  le **temps de cohérence** vaut alors  $T_c = \frac{1}{B_d}$ .

Soit  $T_p$  la durée d'un paquet, on peut classifier le canal de la façon suivante :

- ▷ Si  $T_p \ll T_c$  le canal est dit **non sélectif en temps**,
- ▷ Si  $T_p < T_c$  : **évanouissements lents**,
- ▷ Si  $T_p > T_c$  : **évanouissements rapides**,

Les systèmes de communications sans-fil terrestres mobiles sont en général non sélectif en temps.

## Conclusion Sélectivité

		$B_c$	Bandé Passante, $W$
		<b>Canal plat</b>	<b>Canal sélectif en fréquence</b>
		$y_I(t) = h_0 \cdot s_I(t) + n_I(t)$	$y_I(t) = \int_{\mathbb{R}} h_I(\tau) s_I(t - \tau) d\tau + n_I(t)$
Durée paquet, $T_p$		<b>Canal sélectif en temps</b>	<b>Canal doublement sélectif</b>
		$y_I(t) = h_I(t) s_I(t) + n_I(t)$	$y_I(t) = \int_{\mathbb{R}} h_I(\tau, t) s_I(t - \tau) d\tau + n_I(t)$

- ▶ Les systèmes de communications sans-fil terrestres mobiles sont en général non sélectif en temps.
- ▶ **Sélectivité en fréquence** ⇒ **Égalisation du canal**
- ▶ **Égalisation du canal** ⇒ **Récepteur plus complexe.**

## Solution ?

**Communications sans fil multi-porteuses** (systèmes OFDM : Orthogonal Frequency Division Multiplexing).

**Mobile** 4G LTE / LTE-A, 5G, **Diffusion TV** (DVB-T / DVB-T2), ADSL, WiFi

# Plan

- 1 Introduction
- 2 Rappels
- 3 Le canal radio-mobile
  - Sélectivité fréquentielle
  - Sélectivité temporelle
- 4 Principe des communications multi-porteuses
- 5 Orthogonal Frequency Division Multiplexing
- 6 Conclusion
- 7 Références

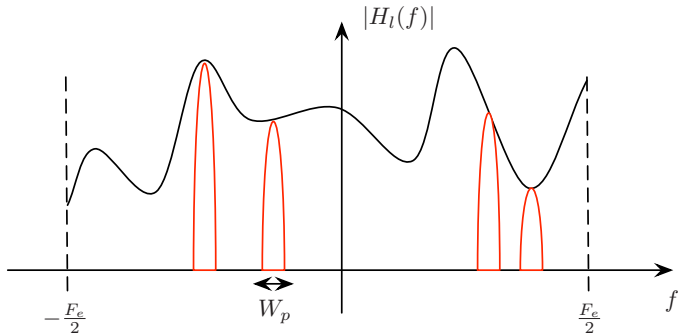
- ▷ Rappel : Bande requise ( $W$ ) = débit symbole ( $\frac{1}{T_s}$ )
- ▷ Idée : Diviser la suite de symboles série en  $N$  sous-suites de symboles parallèles portées par  $N$  sous-porteuses de fréquence  $f_n$ ,  $n \in [0, N - 1]$  différentes.
- ▷ Si  $T_{sp}$  désigne le nouveau temps symbole, alors  $\Rightarrow T_{sp} = NT_s$  et  $N$  choisi tel que :

$$W_p \ll B_c$$

⇒ Absence d'IES à l'échelle de chaque sous-suite !

## Allure fréquentielle

$H_l(f) = TF(h_l[n])$   
 $h_l[n]$   $n^{i\text{eme}}$  échantillon de  $h_l(t)$   
enveloppe complexe de  $h(t)$



# Architecture multi-porteuses

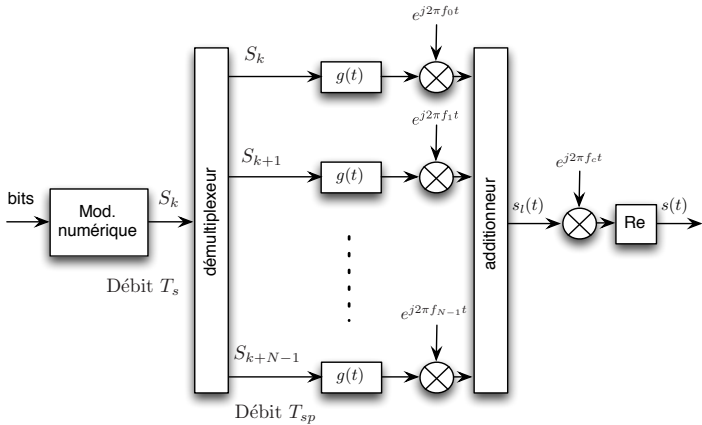


FIGURE – Emetteur analogique multi-porteuses

## Ecriture formelle

$$s_I(t) = \sum_{k \in \mathbb{Z}} \sum_{n=0}^{N-1} S_{n+kN} g(t - kNT_{sp}) e^{j2\pi f_n t}$$

Notations :

- ▷  $T_s$  : temps symbole,
- ▷  $N$  : nombre de sous-porteuses,
- ▷  $T_{sp} = NT_s$  : temps symbole multi-porteuses (MP),
- ▷  $\sum_{n=0}^{N-1} S_{n+kN} g(t - kT_{sp}) e^{j2\pi f_n t}$  :  $k^{i\text{eme}}$  symbole MP.

## Ecriture formelle

Pour alléger l'écriture, on note :

- ▷  $S_{n+kN} = S_{n,k}$ ,
- ▷  $g_{n,k}(t) = g(t - kT_{sp})e^{j2\pi f_n t}$  : filtre temps/fréquence.

$$s_I(t) = \sum_{k \in \mathbb{Z}} \sum_{n=0}^{N-1} S_{n,k} g_{n,k}(t)$$

⇒ par rapport au cas mono-porteuse, il faut annuler l'IES dans le temps, mais également en fréquence.

### Orthogonalité Temps/Fréquence

## Orthogonalité multi-porteuses

$$\langle g_{n,k}(t), g_{n',k'}^*(t) \rangle = \alpha \delta_{n,n'} \delta_{k,k'}$$

$\alpha$  : constante dépendant de  $g(t)$  et du temps symbole,  
 $\alpha = 1 \Rightarrow$  filtre temps/fréquence normalisé.

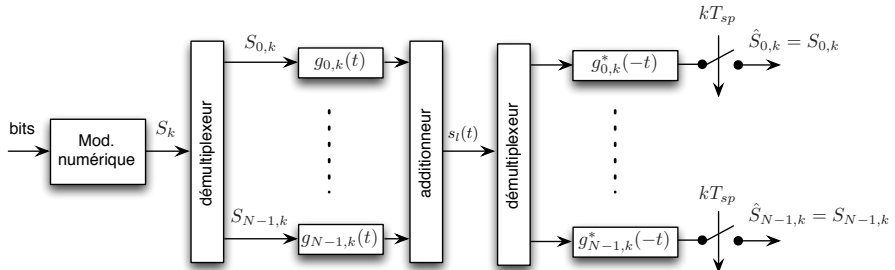


FIGURE – Architecture analogique BDB sans distorsions

## Choix du filtre et espacement entre sous-porteuses

Choix du filtre, dualité temps/fréquence :

- ▷ support temporel borné  $\Rightarrow$  DSP à énergie non-bornée,
- ▷ support temporel non-borné  $\Rightarrow$  DSP à énergie bornée,

Espacement entre sous-porteuses :

- ▷ Conditionné par le choix du filtre
- ▷ Ne pas réduire l'efficacité spectrale voire l'augmenter

$$NW_p \leq W$$

## Orthogonalité à l'échelle d'une sous-porteuse : $n = n'$

$$\begin{aligned} \langle g_{n,k}(t), g_{n,k'}^*(t) \rangle &= \int_{\mathbb{R}} g(t - kT_{sp}) e^{j2\pi f_n t} g^*(t - k' T_{sp}) e^{-j2\pi f_n t} dt \\ &= \int_{\mathbb{R}} g(t - kT_{sp}) g^*(t - k' T_{sp}) dt = \delta_{k,k'} \end{aligned}$$

- ▷ On retrouve la contrainte d'orthogonalité mono-porteuse,
- ▷ Satisfait si  $g_a(t) = g^*(-t)$ , critère de Nyquist et  $R_g[0] = 1$ ,
- ▷  $g(t)$  : porte, filtre en racine de cosinus sur-élévé, etc.

## Orthogonalité à l'échelle d'un symbole MP : $k = k'$

On choisit  $g(t)$  et  $g_a(t)$  vérifiant la contrainte précédente. On cherche désormais :

$$\langle g_{n,k}(t), g_{n',k}^*(t) \rangle = \int_{\mathbb{R}} g(t - kT_{sp}) e^{j2\pi f_n t} g^*(t - kT_{sp}) e^{-j2\pi f_{n'} t} dt = \delta_{n,n'}$$

- ▷ On note  $\Delta f$  l'espacement entre sous-porteuses adjacentes,
- ▷ Filtre de DSP à support borné :  $\Delta f = \frac{1+\beta}{T_{sp}}$  ( $\beta$  : *roll-off*),
- ▷ Filtre de DSP à support non-borné :  $\exists \Delta f$ ? vérifiant le critère ci-dessus.

## Orthogonalité à l'échelle d'un symbole MP : $k = k'$

On choisit  $g(t) = 1/\sqrt{T_{sp}}$  sur  $0 \leq t < T_{sp}$  et 0 ailleurs.

$$\begin{aligned}
 \langle g_{n,k}(t), g_{n',k}^*(t) \rangle &= \frac{1}{T_{sp}} \int_{kT_{sp}}^{(k+1)T_{sp}} e^{j2\pi f_n t} e^{-j2\pi f_{n'} t} dt \\
 &= \frac{1}{T_{sp} j 2\pi (f_n - f_{n'})} [e^{j2\pi (f_n - f_{n'}) t}]_{kT_{sp}}^{(k+1)T_{sp}} \\
 &= \frac{e^{j2\pi (f_n - f_{n'}) k T_{sp}}}{T_{sp} j 2\pi (f_n - f_{n'})} [e^{j2\pi (f_n - f_{n'}) T_{sp}} - 1]
 \end{aligned}$$

### Condition lorsque $n \neq n'$

- ▷ Orthogonal si :  $(f_n - f_{n'}) T_{sp} \in \mathbb{Z}^*$ ,
- ▷ Efficacité spectrale maximale  $\Rightarrow \Delta f = \frac{1}{T_{sp}}$

## Orthogonalité temps/fréquence

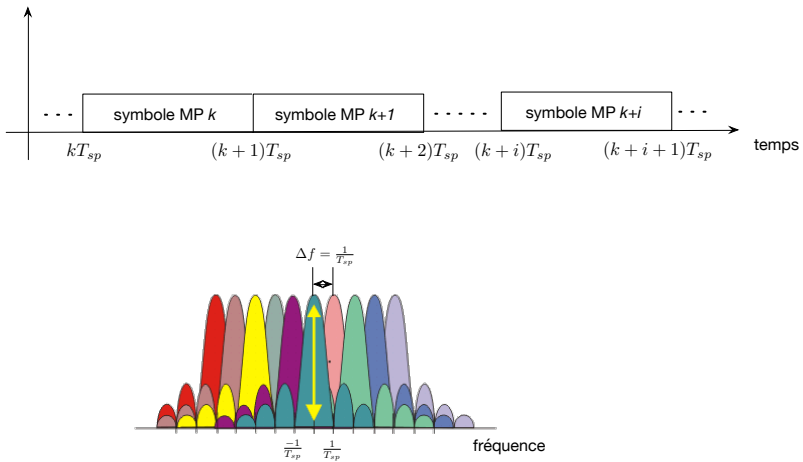
### Résumé

- ▷ si  $g(t) = \begin{cases} 1/\sqrt{T_{sp}}, & 0 \leq t < T_{sp} \\ 0 & \text{sinon} \end{cases}$
- ▷ et  $\Delta f = \frac{1}{T_{sp}}$

alors

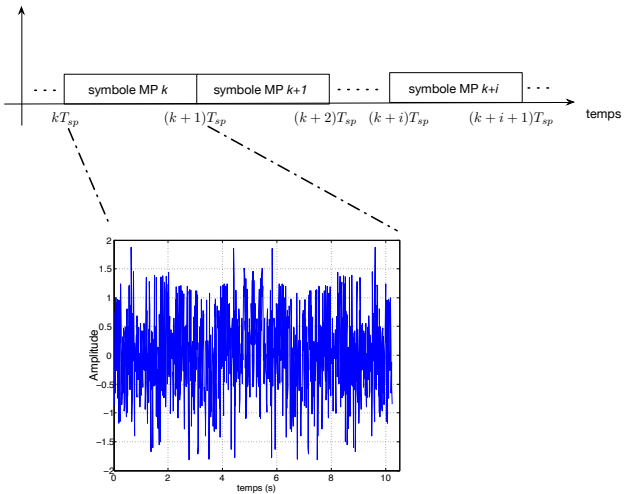
$$\langle g_{n,k}(t), g_{n',k'}^*(t) \rangle = \delta_{n,n'} \delta_{k,k'}$$

## Interprétations graphiques



**FIGURE –** Interprétations graphiques de la condition d'orthogonalité

## Allure d'un symbole MP



**FIGURE – Allure d'un symbole multi-porteuses**

## Emetteur/récepteur analogique - Inconvénients

$$s_l(t) = \sum_{k \in \mathbb{Z}} \sum_{n=0}^{N-1} S_{n,k} g(t - kT_{sp}) e^{j2\pi f_n t}$$

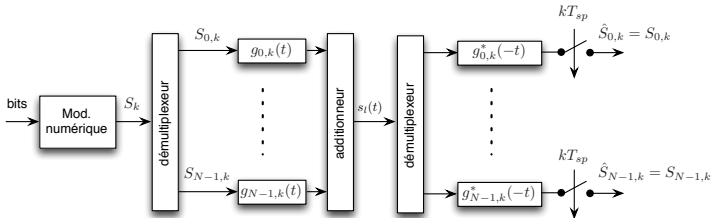


FIGURE – Architecture analogique Tx/Rx BDB

- ▷ Encombrement des  $N$  CNA et CAN, des  $N$  mélangeurs, etc,
- ▷ Consommation d'énergie importante ( $\times N$  / mono-porteuse),
- ▷ Complexité de la synchronisation fréquentielle au récepteur.

# Plan

- 1 Introduction
- 2 Rappels
- 3 Le canal radio-mobile
  - Sélectivité fréquentielle
  - Sélectivité temporelle
- 4 Principe des communications multi-porteuses
- 5 Orthogonal Frequency Division Multiplexing
- 6 Conclusion
- 7 Références

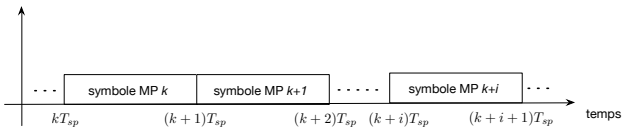
# OFDM

## OFDM : Orthogonal Frequency Division Multiplexing

- ▷ Contourne les inconvénients de l'architecture analogique,
- ▷ Génération numérique des symboles MP  $\Rightarrow$  symbole OFDM,
- ▷ Fréquence d'échantillonnage de  $s_i(t)$  :  $F_e = D_s$ , soit  $T_e = T_s$ ,
- ▷  $\Delta f = \frac{1}{T_{sp}} \Rightarrow f_n = n\Delta f = \frac{n}{T_{sp}}$ ,  $n \in [0, N - 1]$
- ▷  $g(t) = 1 / \sqrt{T_{sp}}$   $0 \leq t < T_{sp}$  et 0 ailleurs :

$$\Rightarrow g[u] = \frac{1}{\sqrt{N}} \sum_{u=0}^{N-1} \delta[u - 1]$$

## Symbole OFDM



- Temporellement : symboles OFDM orthogonaux au sens du non-chevauchement  $\Rightarrow$  on considère le  $k^{i\text{eme}}$  symbole OFDM  
 $s_{I,k}(t) = s_I(t) \quad t \in [kT_{sp}, (k+1)T_{sp}[$ ,

$$s_{I,k}(t) = \sum_{n=0}^{N-1} S_{n,k} g(t - kT_{sp}) e^{j2\pi f_n t}$$

- Le  $p^{i\text{eme}}$  ( $p$  entier  $\in [0, N-1]$ ) échantillon du  $k^{i\text{eme}}$  symbole OFDM s'écrit :

$$s_{I,k}(pT_e) = s_{I,k}[p] = \sum_{n=0}^{N-1} S_{n,k} g(kT_{sp} + pT_e - kT_{sp}) e^{j2\pi f_n (kT_{sp} + pT_e)}$$

## Symbole OFDM

Sachant que

- ▷  $f_n = \frac{n}{T_{sp}}$ ,  $n \in [0, N - 1]$ ,
- ▷  $T_e = T_s = \frac{T_{sp}}{N}$ ,
- ▷  $g[p] = \frac{1}{\sqrt{N}} \forall p \in [0, N - 1]$ ,

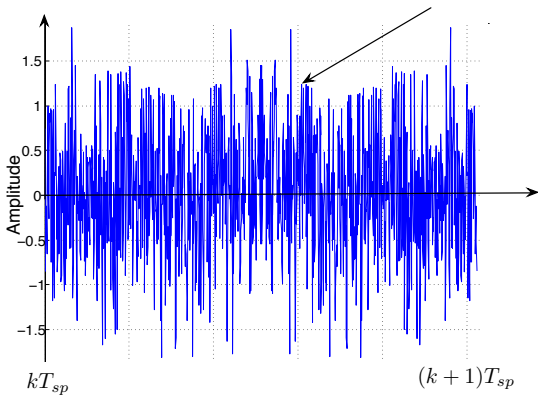
$$s_{l,k}[p] = \sum_{n=0}^{N-1} S_{n,k} g(kT_{sp} + pT_e - kT_{sp}) e^{j2\pi f_n (kT_{sp} + pT_e)}$$

se réécrit ainsi :

$$\begin{aligned} s_{l,k}[p] &= \frac{1}{\sqrt{N}} \sum_{n=0}^{N-1} S_{n,k} e^{j2\pi \frac{n}{T_{sp}} (kT_{sp} + p\frac{T_{sp}}{N})} \\ &= \frac{1}{\sqrt{N}} \sum_{n=0}^{N-1} S_{n,k} e^{j2\pi \frac{np}{N}} \end{aligned}$$

## Symbole OFDM

$$s_{l,k}[p] = \frac{1}{\sqrt{N}} \sum_{n=0}^{N-1} S_{n,k} e^{j2\pi \frac{np}{N}}$$



## Symbole OFDM

### Résumé

- Le  $p^{i\text{eme}}$  ( $p$  entier  $\in [0, N - 1]$ ) échantillon du  $k^{i\text{eme}}$  symbole OFDM s'obtient par TDFI des  $N$  symboles (PSK, QAM, etc.) à émettre.
- En pratique,  $N = 2^r$  ( $r \in \mathbb{N}^*$ )  $\Rightarrow$  IFFT.

$$\underline{s}_{I,k}[p] = \frac{1}{\sqrt{N}} \sum_{n=0}^{N-1} \underline{s}_{n,k} e^{j2\pi \frac{np}{N}}$$

- Écriture matricielle :

$$\underline{s}_k = \underline{F}^H \underline{S}_k$$

- $\underline{s}_k$  : vecteur ( $N \times 1$ ) des échantillons du  $k^{i\text{eme}}$  symbole OFDM,
- $\underline{F}$  : matrice de Fourier ( $N \times N$ ),  $\underline{F}(i, j) = \frac{1}{\sqrt{N}} e^{-j2\pi \frac{ij}{N}}$ ,
- $\underline{S}_k$  : vecteur ( $N \times 1$ ) des  $N$  symboles à émettre.

## Emetteur numérique OFDM

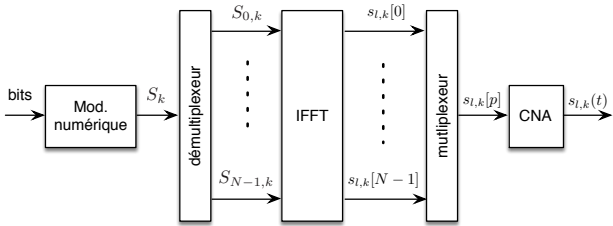


FIGURE – Emetteur numérique OFDM

Les symboles OFDM sont générés par bloc à partir d'un nombre de symboles  $\leq N$

## Récepteur numérique OFDM

- On note  $r_{l,k}(t)$  le signal correspondant à la réception de  $s_{l,k}(t)$ ,
- Hypothèse : Synchronisations parfaites (temps/fréquence),

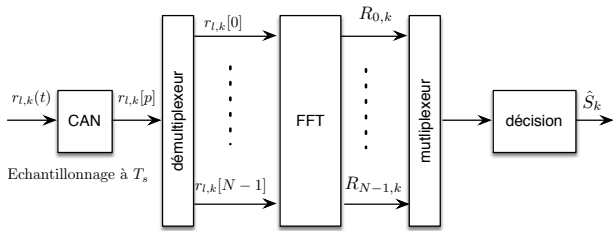


FIGURE – Récepteur numérique OFDM

- Ecriture matricielle :

$$\underline{R}_k = \underline{F} \underline{r}_k$$

- $\underline{R}_k$  : vecteur  $(N \times 1)$  des symboles détectés du  $k^{i\text{eme}}$  symbole OFDM,
- $\underline{r}_k$  : vecteur  $(N \times 1)$  des  $N$  échantillons de  $r_{l,k}(t)$

## Insertion du canal

- ▶ Hypothèse : Synchronisations parfaites (temps/fréquence),

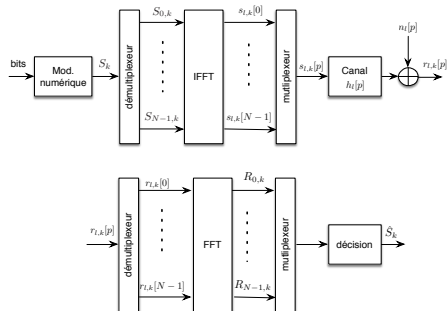


FIGURE – Tx/Rx numérique OFDM BDB

- ▶ Émission d'une suite de  $K$  symboles OFDM  $\Rightarrow$  Trame OFDM

$$r_I[p] = h_I[p] * s_I[p] + n_I[p]$$

## Insertion du canal

- ▷ Sans distorsions :  $r_I[p] = s_I[p] \Rightarrow$  détection parfaite,
- ▷ Canal AWGN :  $r_I[p] = s_I[p] + n_I[p]$   
 $\Rightarrow$  performances ( $P_b$ ) similaires / mono-porteuse,

$$n_I[p] \sim \mathcal{N}_{\mathbb{C}}(0, \sigma_I^2) + \text{Blanc},$$

Attention : FFT non normalisée  $\Rightarrow$  variance du bruit après FFT  $\neq \sigma_I^2$  (voir TP)

- ▷ Canal Rice, Rayleigh :  $r_I[p] = h_I[p] * s_I[p] + n_I[p]$   
 $\Rightarrow$  Perte d'orthogonalité temporelle

## Insertion du canal

OFDM  $\Rightarrow$  Canal sélectif en fréquence  $\Rightarrow$  Perte d'orthogonalité temporelle

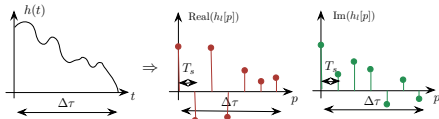


FIGURE – Enveloppe complexe du canal de propagation

$$h_l[p] = \sum_{u=0}^{L-1} h_u \delta[p - u]$$

- ▷  $h_l[p] \in \mathbb{C}$  : Rayleigh ou Rice (NLOS, LOS),
- ▷  $L = \lfloor \frac{\Delta\tau}{T_s} \rfloor$
- ▷ Idée : insérer un intervalle de garde entre chaque symbole OFDM  $s_k$ .

## Intervalle de garde

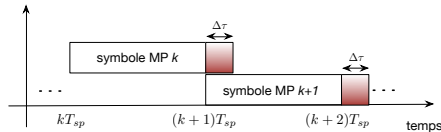


FIGURE – Perte d'orthogonalité temporelle

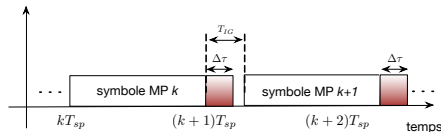
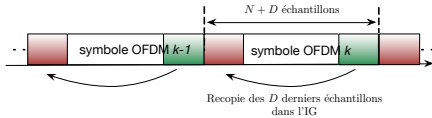


FIGURE – Conservation de l'orthogonalité temporelle

- ▷  $T_{IG} \geq \Delta\tau$
- ▷ Inconvénients : 1/ perte d'efficacité spectrale  $\frac{T_{IG}}{T_{sp} + T_{IG}}$ , 2/ accélération du vieillissement, effet ON/OFF

## Prefixe cyclique

- ▶ Pour limiter la perte d'efficacité spectrale :  $T_{IG} \ll T_{sp}$ ,
- ▶ Pour supprimer le second inconvénient : **Préfixe cyclique (PC)**
- ▶ Si note  $D = \lfloor \frac{T_{IG}}{T_s} \rfloor$ , insérer un préfixe cyclique dans l'IG revient à recopier les  $D$  derniers échantillons de chaque symbole OFDM dans l'IG qui le précède.



**FIGURE –** Insertion du préfixe cyclique

- ▶ Le préfixe cyclique s'insère symbole OFDM après symbole OFDM

## Préfixe cyclique - Matrice circulante

- ▷ Insérer un préfixe cyclique présente un autre avantage : cela rend circulaire la convolution du canal de propagation

$$\underline{s}_k = [s_{I,k}[0], s_{I,k}[1], \dots, s_{I,k}[N-1]]^T$$

- ▷ après l'insertion du PC :

$$[s_{I,k}[N-D], \dots, s_{I,k}[N-1], s_{I,k}[0], s_{I,k}[1], \dots, s_{I,k}[N-1]]^T$$

- ▷ Sachant  $r_I[p] = h_I[p] * s_I[p] + n_I[p]$  avec  $h_I[p] = \sum_{u=0}^{L-1} h_u \delta[p-u]$ , le vecteur  $\underline{r}_k$  s'écrit :

$$\underline{r}_k = \underline{H}_1 \underline{s}_{k-1/k} + \underline{H}_2 \underline{s}_k + \underline{n}_k$$

## Préfixe cyclique - Convolution circulaire

$$r_k = \begin{pmatrix} 0 & \dots & 0 & h_{L-1} & \dots & h_1 \\ \vdots & & & \ddots & & \vdots \\ \vdots & & & & \ddots & h_{L-1} \\ \vdots & & & & & 0 \\ 0 & \dots & & \dots & & \vdots \\ 0 & & & & & 0 \end{pmatrix}_{N \times N} \begin{pmatrix} s_{l,k-1}[D] \\ \vdots \\ s_{l,k-1}[N-1] \\ s_{l,k}[N-D] \\ \vdots \\ s_{l,k}[N-1] \end{pmatrix} +$$

$$\begin{pmatrix} h_0 & 0 & \dots & \dots & \dots & 0 \\ \vdots & \ddots & & & & \vdots \\ h_{L-1} & & \ddots & & & \vdots \\ 0 & & & \ddots & & \vdots \\ \vdots & & & & \ddots & 0 \\ 0 & \dots & 0 & h_{L-1} & \dots & h_0 \end{pmatrix}_{N \times N} \begin{pmatrix} s_{l,k}[0] \\ s_{l,k}[1] \\ \vdots \\ \vdots \\ \vdots \\ s_{l,k}[N-1] \end{pmatrix} + n_k$$

- Matrices de convolution (structure Toeplitz)

## Préfixe cyclique - Convolution circulaire

$$r_k = \underbrace{\begin{pmatrix} h_0 & 0 & \dots & 0 & h_{L-1} & \dots & h_1 \\ \vdots & \ddots & & & \ddots & & \vdots \\ h_{L-1} & & \ddots & & & & h_{L-1} \\ 0 & \ddots & & \ddots & & & 0 \\ \vdots & & \ddots & & \ddots & & \vdots \\ \vdots & & & \ddots & & \ddots & 0 \\ 0 & \dots & \dots & 0 & h_{L-1} & \dots & h_0 \end{pmatrix}}_{H_{cir}} \underbrace{\begin{pmatrix} s_{I,k}[0] \\ s_{I,k}[1] \\ \vdots \\ s_{I,k}[N-1] \end{pmatrix}}_{s_k} + n_k$$

- ▷ Transformation d'une matrice Toeplitz en matrice circulante,
- ▷ Transformation d'une convolution en une convolution circulaire,

$$r_k = H_{cir} s_k + n_k$$

## Préfixe cyclique - Convolution circulaire

- ▶ Finalement :

$$\begin{aligned}
 \underline{R}_k &= \underline{F} \underline{r}_k \\
 &= \underline{F} (\underline{H}_{cir} \underline{s}_k + \underline{n}_k) \\
 &= \underline{F} \underline{H}_{cir} \underline{F}^H \underline{S}_k + \underline{F} \underline{n}_k
 \end{aligned}$$

- ▶ Toute matrice circulante se diagonalise dans une base de vecteurs propres de Fourier :

$$\underline{F} \underline{H}_{cir} \underline{F}^H = \underline{H}_d$$

- ▶ où  $\underline{H}_d$  : matrice  $(N \times N)$  diagonale

$$\underline{H}_d(u, u) = \sum_{n=0}^{N-1} h_n e^{-\frac{j2\pi nu}{N}}$$

## Préfixe cyclique - Convolution circulaire

- Après la démodulation OFDM (FFT), si la taille du préfixe cyclique  $\geq$  également temporel du canal, le  $u^{i\text{eme}}$  symbole détecté (porté par le  $k^{i\text{eme}}$  symbole OFDM) vaut :  $\forall u \in [0, N - 1]$

$$\underline{R}_k[u] = \underline{H}_d(u, u) \underline{S}_k[u] + \underline{N}_k[u]$$

- L'effet convolutif du canal de propagation se transforme en simple multiplication en fréquence.

## Tx/Rx OFDM avec préfixe cyclique

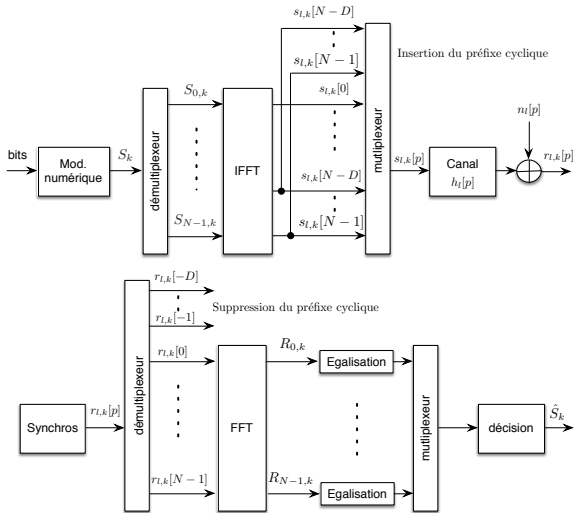


FIGURE – Architecture Tx/Rx BDB OFDM avec préfixe cyclique

## Egalisation en OFDM

Simple : Il faut égaliser un coefficient !

$$R_k[u] = \underline{H}_d(u, u) \underline{S}_k[u] + \underline{N}_k[u]$$

- ▷ filtrage adapté :  $\underline{H}_d^*(u, u)$ ,
- ▷ Forçage à zéro :  $\frac{1}{\underline{H}_d(u, u)}$
- ▷ Wiener :  $\frac{\underline{H}_d^*(u, u)}{|\underline{H}_d(u, u)|^2 + \sigma_f^2}$

## Estimations canal, CFO en OFDM

- ▷ Trame OFDM,
- ▷ Symboles pilotes et séquences d'apprentissage,

# Estimations canal, CFO en OFDM

## Canal connu à l'émetteur

- ▶ Maximiser le débit à probabilité d'erreur identique sur chaque sous-porteuse
  - ⇒ Adapter les constellations  $M$ -(PSK, QAM) pour chaque sous-porteuse.
    - ▶ Si SNR élevé sur la porteuse  $n$ , alors  $M$  grand.
    - ▶ Si SNR faible sur la porteuse  $n$ , alors  $M$  petit.

## OFDMA (TDD/FDD)

## Dimensionnement d'un système OFDM

- $N$  doit être choisi tel que :

$$\Delta\tau \ll T_{sp} \ll T_c$$

et

$$T_{GI} \simeq \Delta\tau$$

Pour limiter la perte d'efficacité spectrale

## Avantages/Inconvénients

- ▷ Avantages :
  - ▷ Égalisation simple,
  - ▷ Architecture BDB simple (FFT/IFFT),
- ▷ Inconvénients :
  - ▷ Facteur de crête,
  - ▷ Synchronisations,
  - ▷ Perte d'efficacité spectrale,
  - ▷ Lobes secondaires importants sur les bords de la DSP

# Plan

- 1 Introduction
- 2 Rappels
- 3 Le canal radio-mobile
  - Sélectivité fréquentielle
  - Sélectivité temporelle
- 4 Principe des communications multi-porteuses
- 5 Orthogonal Frequency Division Multiplexing
- 6 Conclusion
- 7 Références

- ▷ Principes des communications haut-débit (4G, TNT, WiFi),
- ▷ Techniques de synchronisations,
- ▷ Dirty RF,
- ▷ Systèmes à antennes multiples (MIMO),
- ▷ Etalement de spectre,
- ▷ Radio-intelligente, 4G et 5G.

# Plan

- 1 Introduction
- 2 Rappels
- 3 Le canal radio-mobile
  - Sélectivité fréquentielle
  - Sélectivité temporelle
- 4 Principe des communications multi-porteuses
- 5 Orthogonal Frequency Division Multiplexing
- 6 Conclusion
- 7 Références

## Bibliographie

- ▷ R. van Nee et R. Prasad, « OFDM for wireless multimedia communications », 2000.
- ▷ A. Burr, « Modulation and coding for wireless communication », 2001.
- ▷ A. Molisch, « Wideband wireless digital communication », 2001.